

開断面鋼部材の弾塑性ねじりについて

熊本大学 正員 隅元達郎
 熊本大学 学生員 須崎浩二
 熊本大学 正員 山尾敏孝
 熊本大学 正員 坂田力

1. まえがき： 耐荷力を基準として薄肉開断面鋼部材の強度設計をする場合には、弾塑性ねじり挙動が問題となることが多い。しかし、そり変位を拘束した状態でのねじり挙動は、弾性域では理論が確立しているが、材料が塑性化した状態では弾性域での理論を拡張して適用しているにすぎない。そこで、すぐに行なった実験の結果と、著者らが開発した弾塑性有限要素法による結果を比較・検討して、その挙動を明らかにしたい。^{2), 3)}

2. 解析モデル： 弹塑性ねじり実験の供試体は、溶接H形鋼で、強軸に対する細長比を20～59、軸力比($\alpha = P/P_y$)を0～0.4に変化させ組合せた5体であるが、そのうち $\alpha = 20$, $\delta = 0.2$ の供試体HT-1を選んで解析した。その断面寸法、形状寸法を表1、図1に示す。また図2はその残留応力分布である。この供試体を図3のB-1, B-2のようなはり要素のみのモデルと、Cのようなはり要素と板要素を結合させたモデルで解析する。解析に用いた応力ひずみ関係は図4に示すbi-linear型のものとした。ここで、ひずみ硬化係数 E_{st} を、母材の引張試験により得られた応力ひずみ関係から図に示すようにひずみエネルギーが一定となるように定めた。

3. 結果と考察： 図1は荷重とB断面のねじり角 ϕ_B の関係を示している。モデルCの解析値が実験値と非常によく一致している。また、モデルB-2がモデルB-1より実験値に近づいたのは、端部付近のはり要素の分割を多くしたので、境界のそり拘束の影響がうまく伝達されたためと考えられる。モデルBとモデルCの結果の相違の一因も、端部のそり拘束の解析精度にあると考えられる。今、モデルCの板要素部分を長

表1 供試体断面諸量

NO.	L (mm)	L/t _x	h (mm)	b (mm)	t _f (mm)	t _w (mm)	A (cm ²)	α
HT-1	652.9	20	80.6	80.4	5.8	5.8	13.34	0.2

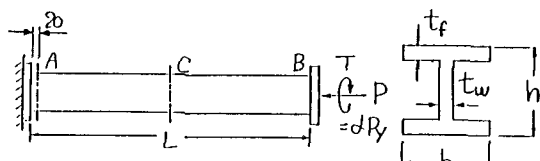


図1 供試体形状寸法

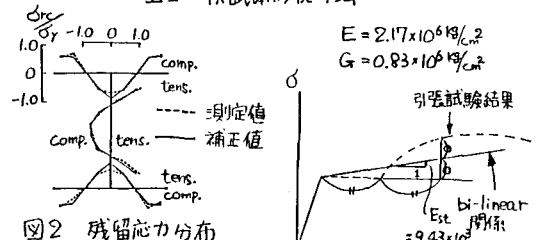


図2 残留応力分布

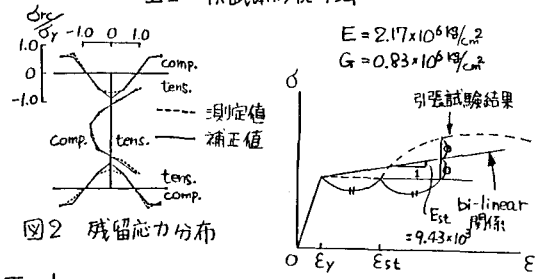


図4 応力ひずみ関係

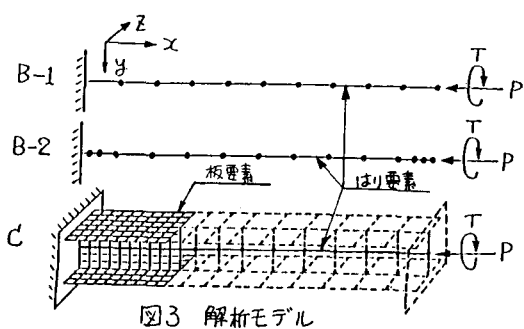


図3 解析モデル

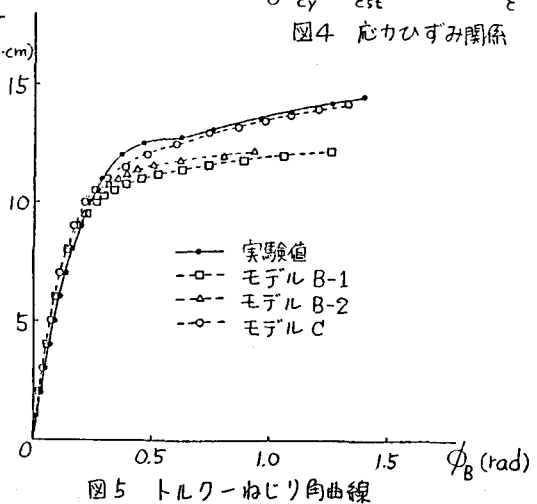


図5 トルク-ねじり角曲線

手方向及び幅方向に細分割したモデルにより、弾性解析した時のフランジの二次せん断応力の分布を図6に示す。 $x = 2.99 \text{ cm}$ では、はり理論で得られる放物線分布をしているが、端板に近くほどフランジ幅方向端部のせん断応力が大きくなる。このフランジ幅方向端部は、そり拘束ひずみも大きいので、断面の塑性化をはやめる効果があると考えられる。また、その時の端板近傍におけるフランジのそり拘束ひずみの分布を図7に示す。端板近傍ではひずみ分布が線形分布からはずれる。軸ひずみと直線分布と仮定する薄肉はり理論では、端板近傍のひずみ分布を近似的に取扱っていることになる。図8は各荷重段階での実験値及びモデルLCの解析結果の上フランジにおけるそり拘束ひずみ分布である。分布状態はよく一致している。この位置ではそり拘束ひずみはほぼ直線になるので、はり理論によても同様の結果が得られる。塑性の判定は、残留応力・トルクによるひずみが相当塑性ひずみを越えるかどうかで行なう。図9のように、フランジ幅方向端部の圧縮残留応力に、そりによる圧縮の直応力が加わる部分から塑性化する様子や、ウェブ中央に圧縮による塑性化がすすむ様子などよく一致している。実験では $T = 10.5 \text{ t} \cdot \text{cm}$ で固定端フランジが全塑性しているが、モデルB-2では $T = 10.25 \text{ t} \cdot \text{cm}$ で全塑性している。フランジが全塑性するとなじりに対する剛性が低下し、単純ねじりへ移行するのではないかと推察される。表2は実験とモデルB-2の解析結果によるねじり角モードである。ある荷重増分での、各点におけるねじり角増分 ϕ_B をB断面のねじり角増分 ϕ_B で割った値を示している。塑性域では、そり拘束ねじりの分布とよく一致している。実験、解析とも、フランジの塑性化がすすむにつれて単純ねじりへと近づくが、フランジ全塑性後も完全に単純ねじりとはならない。解析では、フランジ全塑性後ごくわずかではあるがそり拘束ねじりにもどる傾向にある。しかし、実験ではその傾向はみられない。

4.まとめ: (i)はり要素のみの解析でも、ねじりに対してある程度十分な結果は得られる。(ii)端板近傍でのひずみ分布は薄肉はり理論からはずれる。(iii)そり拘束ねじりで、端部フランジが全塑性すると単純ねじりに近づくが、完全に単純ねじりにはならない結果は得られなかった。

(参考文献)

- 1)山尾他「H形鋼柱への構造工学論文集 Vol.32A 1986.3
- 2)崎元他「薄肉開断面への構造工学論文集 Vol.32A 1986.3
- 3)山尾他「板要素とねじり要素への構造工学論文集 Vol.32A 1986.3
- 4)藤井他「H形鋼梁への構梁と基礎」昭和57年11月
- 5)鈴木他「H形鋼への構造学会論文集 第180号 昭和44年2月

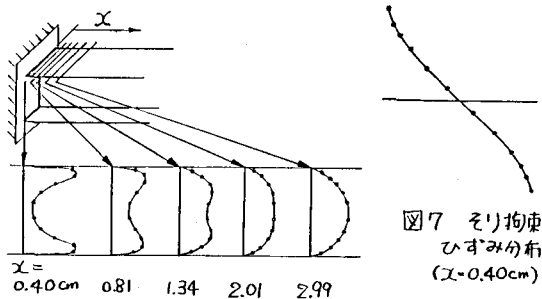


図6 二次せん断応力分布

図7 そり拘束ひずみ分布 ($x = 0.40 \text{ cm}$)

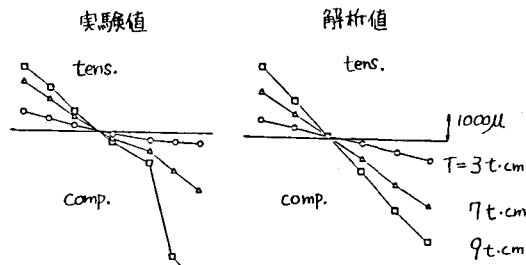


図8 そり拘束ひずみ分布 ($x = 2.0 \text{ cm}$)

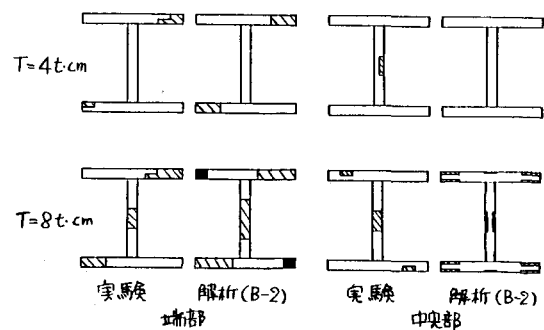


図9 塑性域分布
■圧縮 ▲引張

表2 ねじり角モード

	x/L	0	0.2	0.4	0.6	0.8	1
$\Delta\phi_B$	弾性解	そり拘束ねじり	0	0.107	0.354	0.646	0.893
		単純ねじり	0	0.200	0.400	0.600	0.800
$\Delta\phi_B$	実験値	$T=0 \sim 5 \text{ t} \cdot \text{cm}$ (彈性)	0	0.119	0.360	0.625	0.876
		$10.5 \sim 12.8 \text{ t} \cdot \text{cm}$ (塑性)	0	0.142	0.386	0.623	0.863
$\Delta\phi_B$	解析値	$T=0 \sim 6 \text{ t} \cdot \text{cm}$ (彈性)	0	0.115	0.360	0.640	0.885
		$10.25 \sim 11.8 \text{ t} \cdot \text{cm}$ (塑性)	0	0.164	0.384	0.616	0.836